

УДК 622.271; 622:681.3

А.О. Подойников

ОПРЕДЕЛЕНИЕ КОНЕЧНОЙ ГЛУБИНЫ КАРЬЕРА С ИСПОЛЬЗОВАНИЕМ СОВРЕМЕННЫХ ГОРНЫХ ИНФОРМАЦИОННЫХ ТЕХНОЛОГИЙ ПРИМЕНЕНИЕМ К МОЩНЫМ КРУТОПАДАЮЩИМ ЖЕЛЕЗОРУДНЫМ ЗАЛЕЖАМ

Рассмотрены методы определения границ карьера. Проанализирована зависимость контурного коэффициента вскрыши от глубины карьера при разных бортовых содержаниях. Определены конечные глубины карьеров и отстроены контуры карьеров традиционным методом и специальной компьютерной программой-оптимизатором.

Ключевые слова: *Определение границ карьера, конечная глубина карьера, контурный коэффициент, горные информационные технологии, оптимизация карьера.*

Как известно, граничный коэффициент вскрыши (K_{Gr}) можно определить по формуле:
$$K_{Gr} = (C_p - C_o) / C_v, \text{ м}^3/\text{т} (\text{м}^3/\text{м}^3),$$
 где C_p – себестоимость добычи единицы полезного ископаемого подземным способом, руб/ м^3 ; C_o – себестоимость добычи единицы полезного ископаемого открытым способом без учета затрат на производство вскрышных работ, руб/ м^3 ; C_v – затраты на извлечение и перемещение единицы вскрышных пород, руб/ м^3 [1].

В это выражение могут быть введены коэффициенты учитывающие фактор времени (дисконтированные затраты), затраты на погашение полезных ископаемых и др.

Достижение граничного положения горных работ при различных значениях бортового содержания происходит при равенстве контурного коэффициента вскрыши граничному.

Использование современных горных информационных технологий можно показать на примере опреде-

ления глубины карьера крупного железорудного месторождения.

Крутопадающие рудные тела этого месторождения имеют изменяющуюся геометрию как в плане так по глубине. Их мощность составляет до 40 м и они узкой полосой простираются в широтном направлении на расстояние порядка 20 км.

Рассматривается три варианта бортового содержания (наименьшего содержания полезного компонента в пробе, при котором она может быть включена в контур подсчитываемых блоков запасов полезных ископаемых) магнитного железняка (Fe_{mag}): 9, 15 и 22 процента.

Данные по геологоразведочным скважинам заносятся в геологическую базу данных, используя эти данные отстраиваются контуры рудных тел и по этим данным создается компьютерная цифровая блочная модель месторождения. При оконтуривании необходимо стремиться к такому положению, чтобы контур карьера максимальным образом охватывал рудные тела.

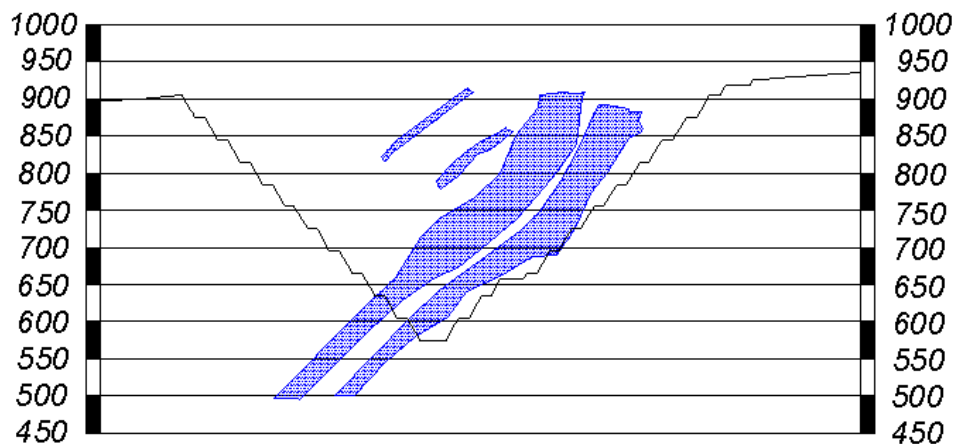


Рис. 1. Поперечный разрез карьера и рудного тела

Далее по контурам рудных тел создаются каркасные модели и отстраиваются сечения рудных тел с заданным интервалом (100 м) по простирианию (см. рис. 1).

Анализируются эти сечения и определяются максимальные глубины рудных тел, при которых контурный коэффициент вскрыши может быть сопоставлен с граничным. На поперечных сечениях отстраивается положение дна карьера с заданной шириной (30 м).

Подобные построения производятся на всех рассматриваемых сечениях. Совокупность полученных данных позволяет отстроить плоскость дна карьера на всем участке простириания месторождения.

Построения производятся с учетом углов наклона бортов, как с лежачего, так и с висячего боков залежи карьера, значение которых определялись исходными данными с учетом формирования устойчивых бортов или углами падения рудных тел.

При проведении расчетов в качестве ограничителей выступали: значение бортового содержания, цифровые топографические модели горных работ и земной поверхности.

Граничный коэффициент вскрыши расчетами был определен как $13,5 \text{ м}^3/\text{м}^3$.

Первоначальный карьер отстраивался с некоторым запасом (глубина карьера 360 м, контурный коэффициент вскрыши – $19,1 \text{ м}^3/\text{м}^3$). Дальнейшие построения с шагом 20 м (см. рис. 2) привели к следующим результатам: для бортового содержания 9 % контурный коэффициент сравнялся с граничным на глубине 335 м, средний коэффициент вскрыши составил $4,9 \text{ м}^3/\text{м}^3$. Тоже самое делаем для карьеров с рудными телами с бортовым содержанием Fe_{mag} 15 % и 22 %.

Для бортового содержания Fe_{mag} 15 % и 22 % глубины карьера составили 315 м и 240 м, средние коэффициенты вскрыши – 5,8 и $11,2 (\text{м}^3/\text{м}^3)$ соответственно.

Таким образом, при равенстве контурного и граничного коэффициентов вскрыши устанавливается конечная глубина карьера.

Полученные результаты приведены в табл. 1 и 2.

Зависимость контурного коэффициента вскрыши от глубины карьера для бортового содержания Fe_{mag} 9 % показана на рис. 3.

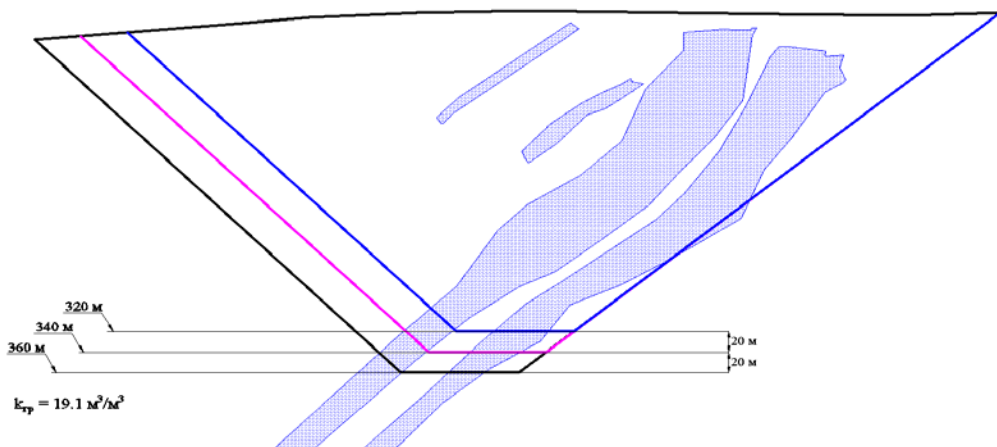


Рис. 2. Разрезы контуров карьеров с разными глубинами, шаг 20 м

Таблица 1.

Результаты расчетов конечной глубины карьера

Борт, %	Глубина карьера, м	Объем горной массы, м ³	Объем руды (магнитного железняка), м ³	Объем вскрышной массы, м ³	Контурный коэффициент вскрыши, м ³ /м ³
9	360-340	75883000	3779000	72104000	19,1
	340-320	70546500	4569000	65977500	14,4
	335-315	69417000	4781000	64636000	13,5
	325-305	66644000	5321500	61322500	11,5
	320-300	65213500	5569000	59644500	10,7
	300-280	60381500	6471500	53910000	8,3
15	320-300	63297000	4198500	59098500	14
	315-295	61189000	4260500	56928500	13,4
22	260-240	48056500	2698000	45358500	17
	240-220	43215500	2958500	40257000	13,6

Таблица 2.

Результаты определения глубины для разного бортового содержания

Борт, %	Глубина карьера, м	Объем горной массы, м ³	Объем руды (магнитного железняка), м ³	Объем вскрышной массы, м ³	Средний коэффициент вскрыши, м ³ /м ³
9	335	551747000	93883000	457864000	4,9
15	315	485550500	70895000	414655500	5,8
22	240	284039500	23273000	260766500	11,2

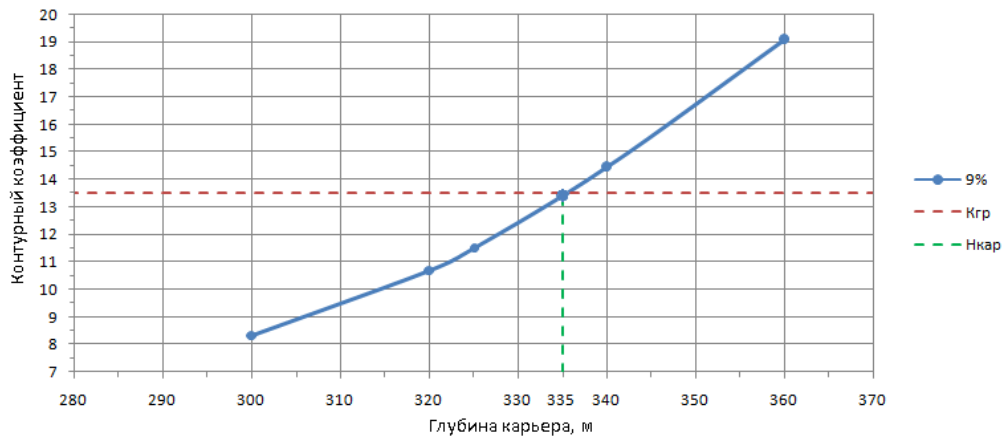


Рис. 3. Зависимость контурного коэффициента вскрыши от глубины карьера (борт 9%)

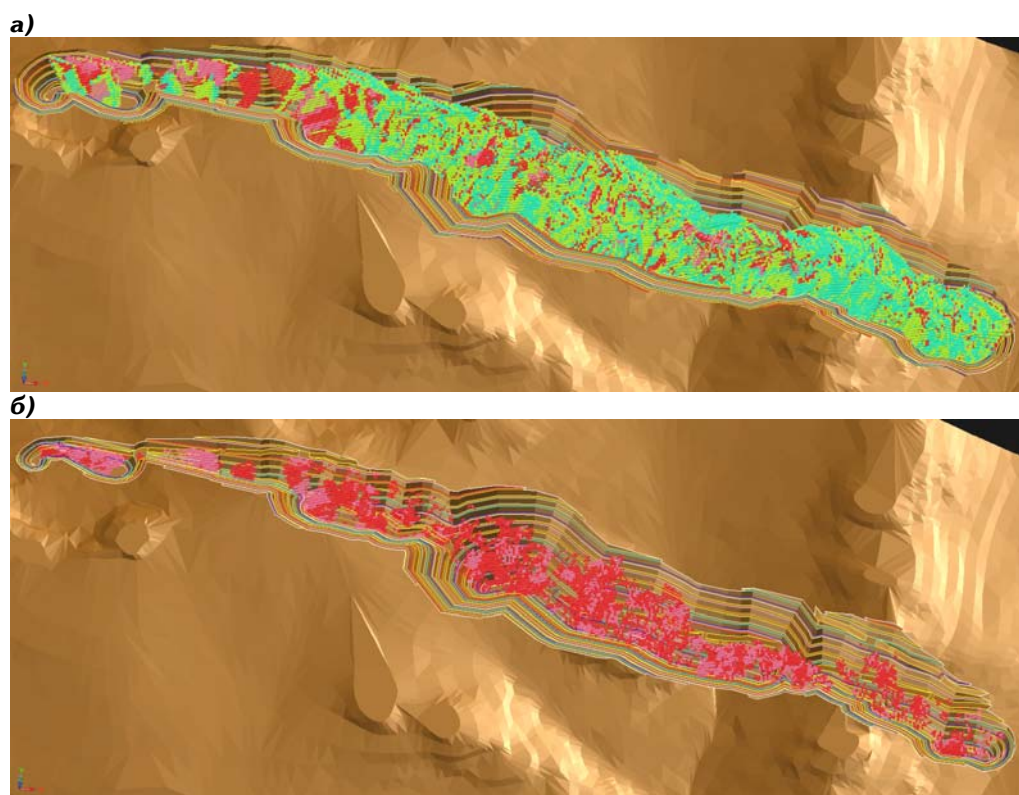


Рис. 4. Визуальное трехмерное представление карьеров на конец отработки и изменения конфигураций рудных тел в зависимости от их бортового содержания Fe_{mag} : а) 9 %, б) 22 %

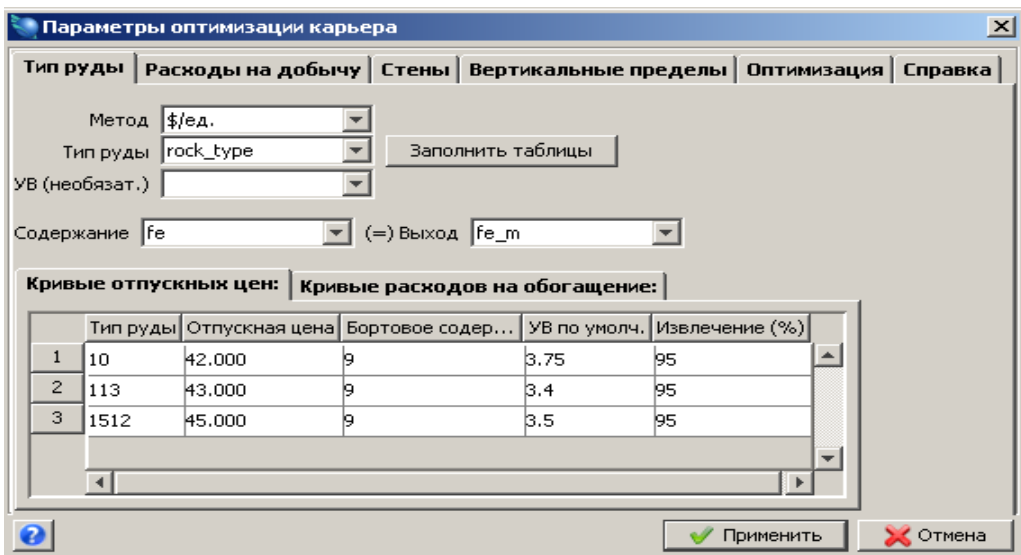


Рис. 5. Окно программы-оптимизатора с параметрами карьера

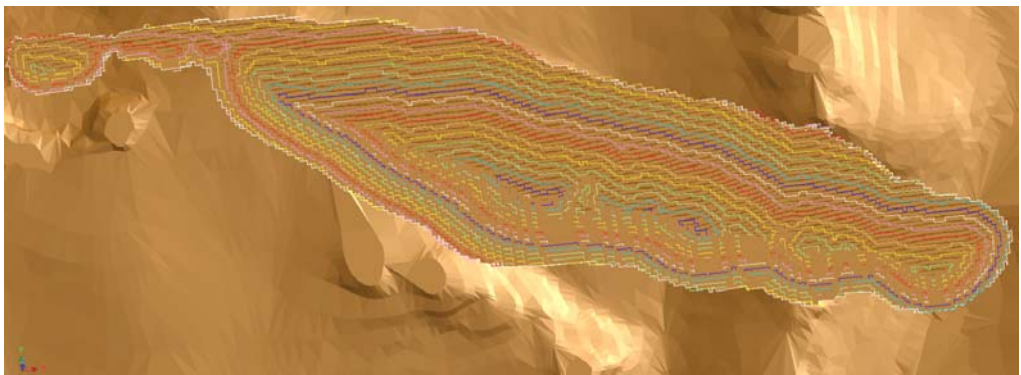


Рис. 6. Контур карьера отстроенный оптимизатором

Справки о суммарных значениях и распределении погоризонтных объемов горной массы и руды (включая средневзвешенные содержания Fe_{mag}) были использованы для определения главных параметров открытой разработки месторождения. С помощью компьютерной программы можно визуально отслеживать и анализировать построенные контуры карьеров и рудных тел (рис. 4).

Кроме вышеописанного метода, определить конечную глубину и отстроить контуры карьера можно с помощью специальных компьютерных программ-оптимизаторов с функцией «оптимизация карьера».

Для этого нам необходимы экономические данные, такие как: отпускная цена руды, расходы на обогащение, на добычу, на транспортирование и другие (рис. 5).

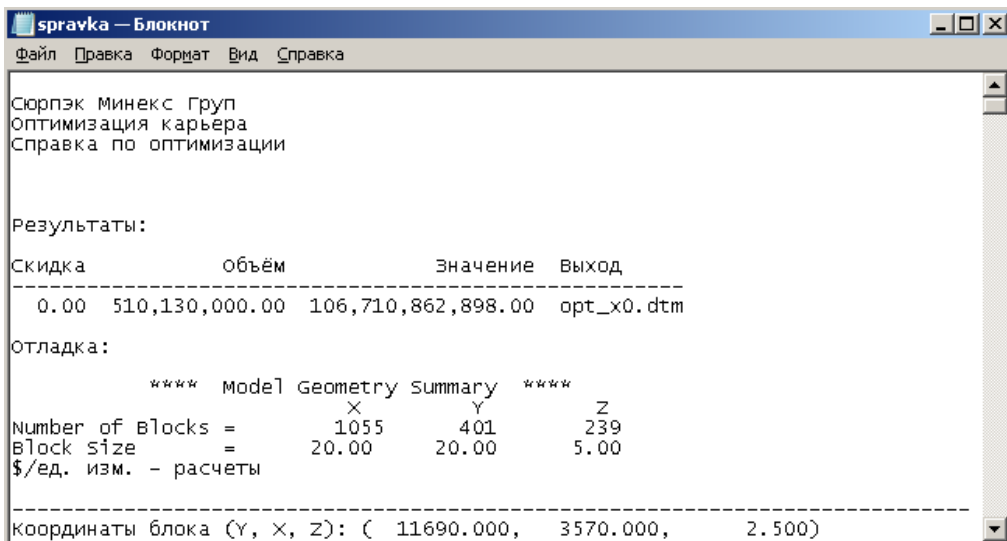


Рис. 7. Фрагмент справки по оптимизации карьера

Обработав полученные данные, программа отстраивает контур карьера (рис. 6) и выдает справку (рис. 7). В справке находятся необходимые данные о параметрах карьера.

Глубина карьера полученная с помощью оптимизации карьера также равна 335 м (315 м и 240 м).

На основании полученных результатов для железорудного месторож-

дения были отстроены 3 варианта карьера для рудных тел с разным бортовым содержанием. Определена точная глубина каждого карьера с заданным граничным коэффициентом вскрыши, что позволяет экономически обосновать целесообразность разработки месторождения открытым способом на разных стадиях проектирования.

СПИСОК ЛИТЕРАТУРЫ

1. Трубецкой К.Н., Потапов М.Г., Виницкий К.Е. Мельников Н.Н. Справочник. Открытые горные работы. - М.: Горное бюро, 1994.
2. Трубецкой К.Н., Краснянский Г.Л., Хронин В.В., Коваленко В.С. Учебник. Проектирование карьеров - 3-е изд., перераб. - М.: Высш.шк., 2009.
3. Методические рекомендации по технико-экономическому обоснованию конди-
- ций для подсчета запасов месторождений твердых полезных ископаемых (кроме углей и горючих сланцев). - М.: Министерство природных ресурсов Российской Федерации, 1999.
4. Пастухин Д.В., Сенаторов Н.П. Учебное пособие. Моделирование открытых горных работ с помощью пакета программ Gemcom Surpac - М.: МГГУ, 2009. ГИАБ

КОРОТКО ОБ АВТОРЕ

Подольников Анатолий Олегович – аспирант кафедры ТО, Московский государственный горный университет, Moscow State Mining University, Russia, ud@msmu.ru